

CARCINOMA MUCINOSO DE MAMA: HALLAZGOS IMAGENOLÓGICOS MULTIMÉTODO Y SU CORRELACIÓN HISTOLÓGICA

Barberia Julieta, Gil Pomar Mariana, Ferrari Daniela, Echezarreta Marina, Landi Matías.

No existen conflictos de interés en el presente póster.

MAR DEL PLATA, BUENOS AIRES, ARGENTINA

julibarberia2@gmail.com

Objetivos

- Exponer las características imagenológicas del carcinoma mucinoso de mama.
- Correlacionar los hallazgos por imágenes con la anatomía patológica.



Discusión

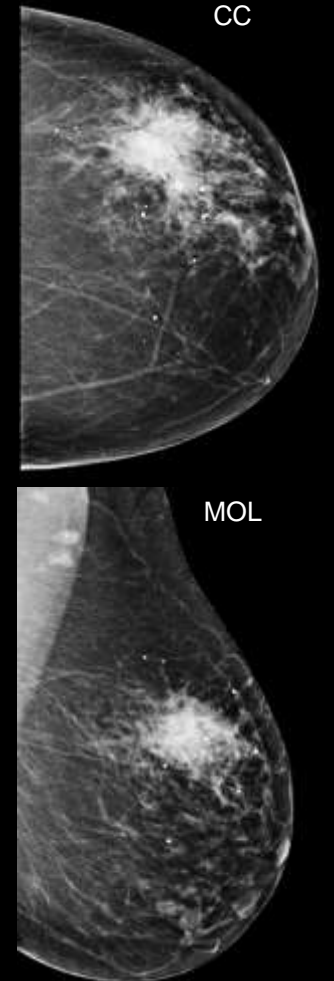
- Adenocarcinoma bien diferenciado que contiene abundante mucina extracelular.
- Tipo histológico infrecuente (2% de los carcinomas de mama).
- Afecta mujeres >55 años.
- A nivel histológico se reconocen dos subtipos:

	Carcinoma mucinoso mixto MMC	Carcinoma mucinoso puro PMC
% de mucina	30-90 %	> 90%
Subtipos	Parcial pMMC 30-50 % mucina Mixto mMMC 50-90 % mucina	A. Hipocelular B. Hiper celular
Metástasis ganglionar	25 %	10 %
Pronóstico	Similar al carcinoma no especial	Mejor que el carcinoma no especial



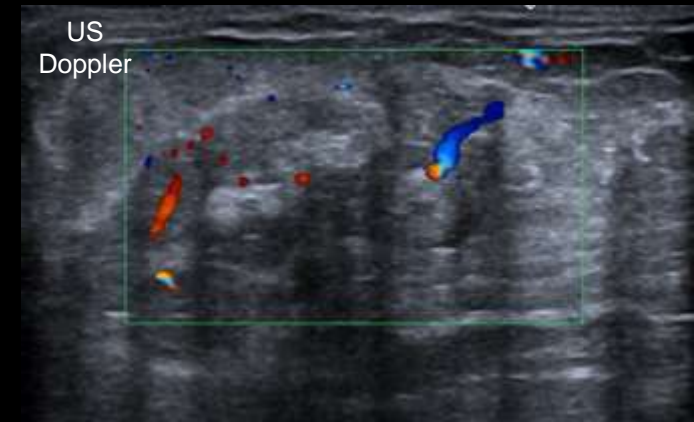
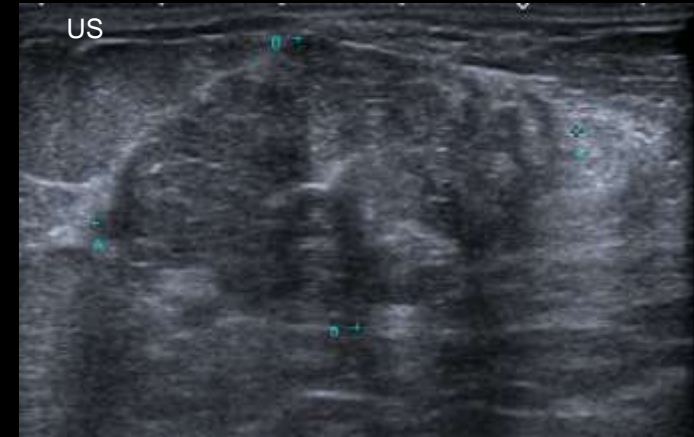
Hallazgos imagenológicos

- En la mamografía se puede manifestar como:
 - Masa redonda u oval de márgenes circunscritos y baja densidad.
Los márgenes del tumor pueden variar de microlobulados a irregulares o espiculados, de acuerdo al contenido de mucina, siendo menor en los últimos, dado que el contenido de mucina se correlaciona con las características periféricas del nódulo.
 - Microcalcificaciones en hasta el 22% de los casos.
 - Asimetría focal.



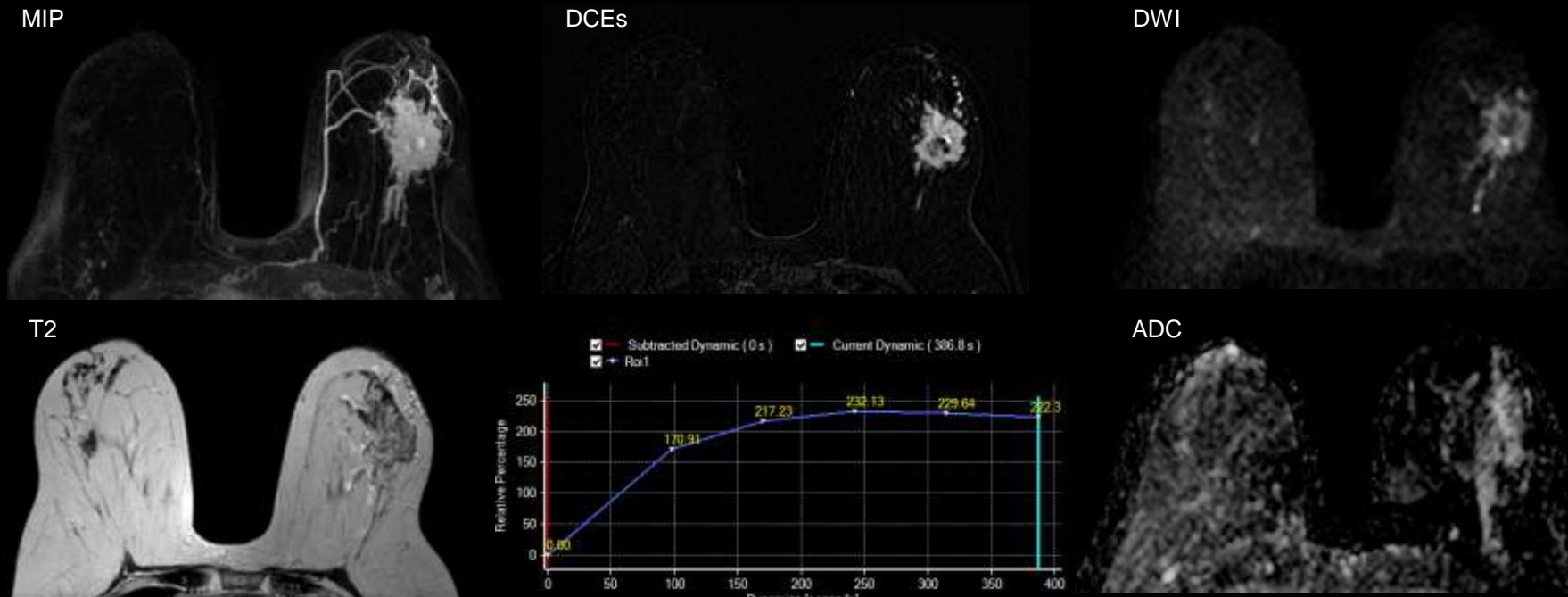
Hallazgos imagenológicos

- Ecográficamente se manifiesta como:
 - Masa redonda u oval, iso o hipoecoica, a menudo con refuerzo acústico posterior y ecos internos.
 - En algunos casos, el carcinoma puro puede presentar atenuación posterior o manifestarse como nódulo sólido-quístico.



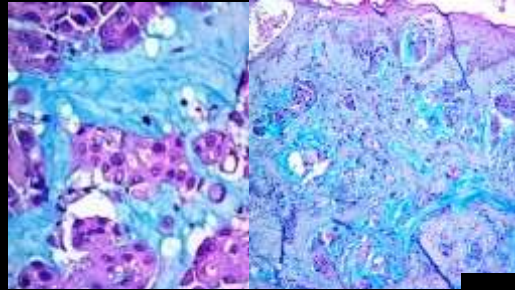
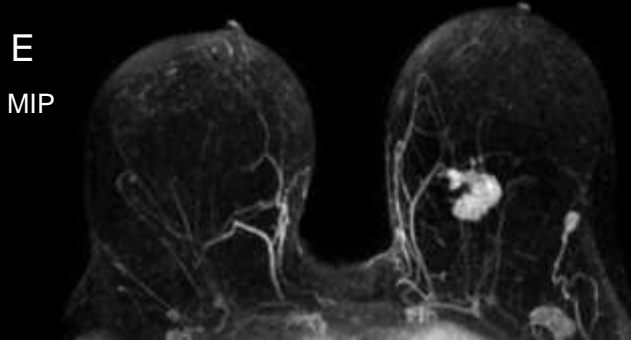
Hallazgos imagenológicos

- En la resonancia magnética suele manifestarse como:
 - Masa circunscripta hiperintensa en secuencias T2 con baja señal en DWI, curva de realce progresivo y alta señal en el mapa de ADC.

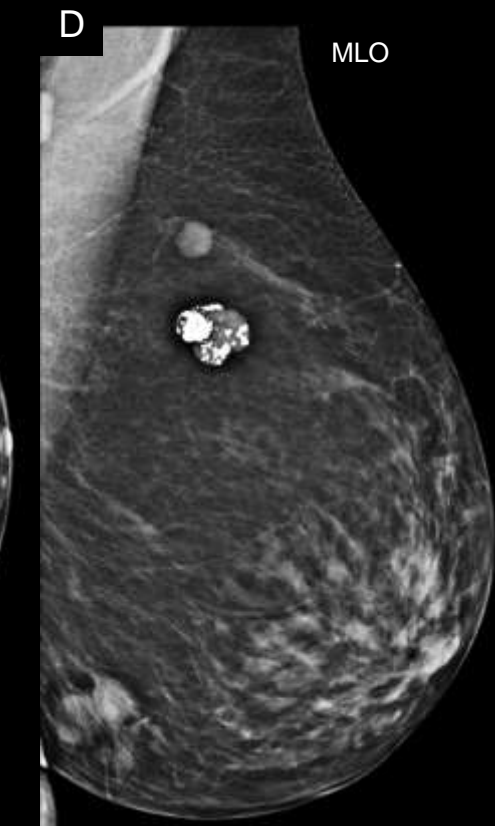
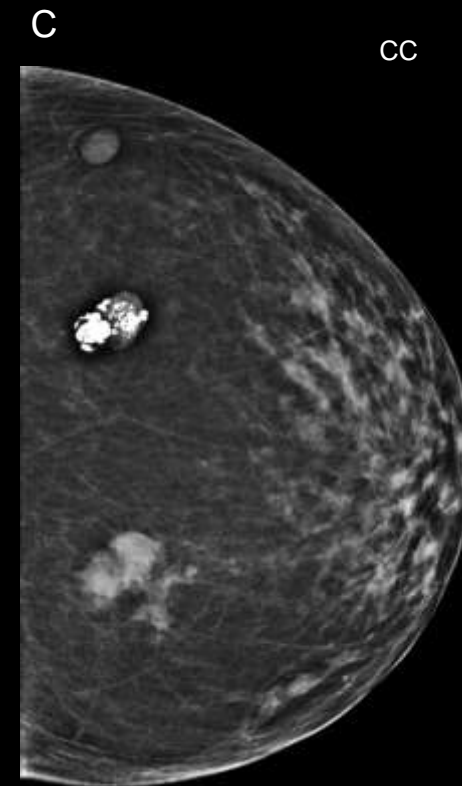
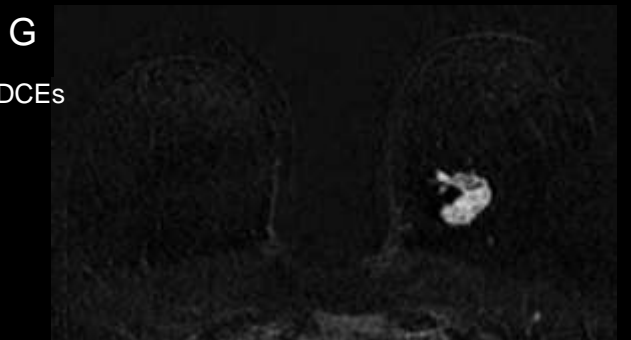
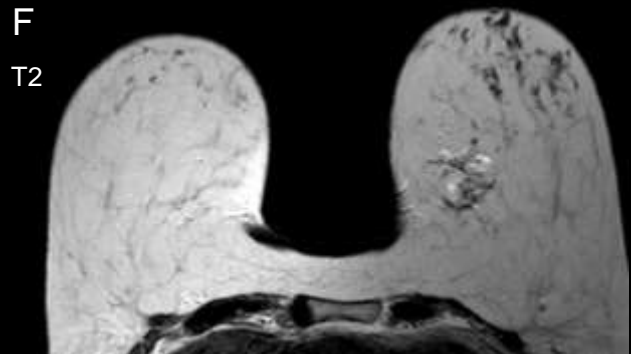


CASO 1

Paciente femenina de 60 años de edad que consulta por palpación de nódulo mama izquierda.



Alcian Blue x40 Alcian Blue x10 H



En la ecografía (A y B) se evidencia una imagen nodular irregular hipoecoica de márgenes no circunscritos y con refuerzo acústico posterior.

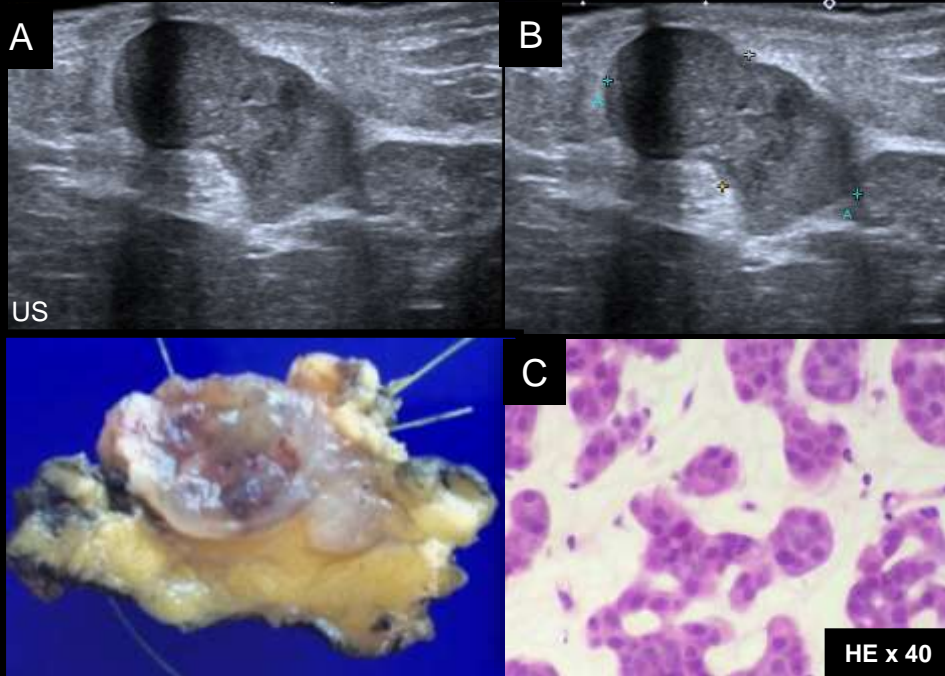
En la mamografía (C y D) se evidencia una imagen nodular de márgenes espiculados y densidad similar al tejido glandular.

En la Resonancia Magnética (E-F-G) se visualiza la imagen nodular de forma y márgenes irregulares con sectores hiperintensos en T2 y patrón de realce interno heterogéneo con curva tipo II.

En la histología (H) se evidencian nidos de células atípicas y lagos de mucina positivos para Alcian Blue. (Carcinoma mucinoso puro)

CASO 2

Paciente femenina de 65 años de edad que consulta por bulto palpable en mama derecha.



En la mamografía (D y E) se visualiza como una imagen oval de márgenes circunscritos y alta densidad.

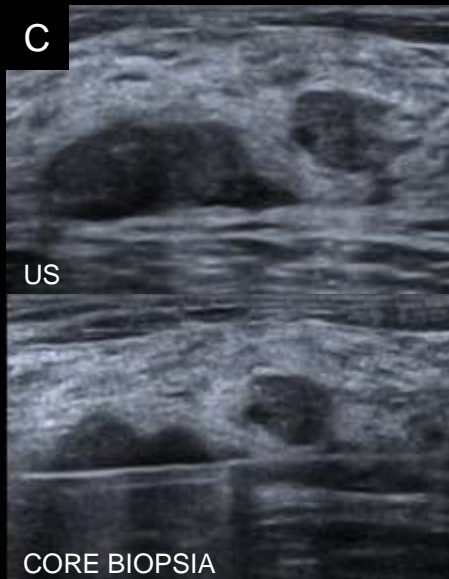
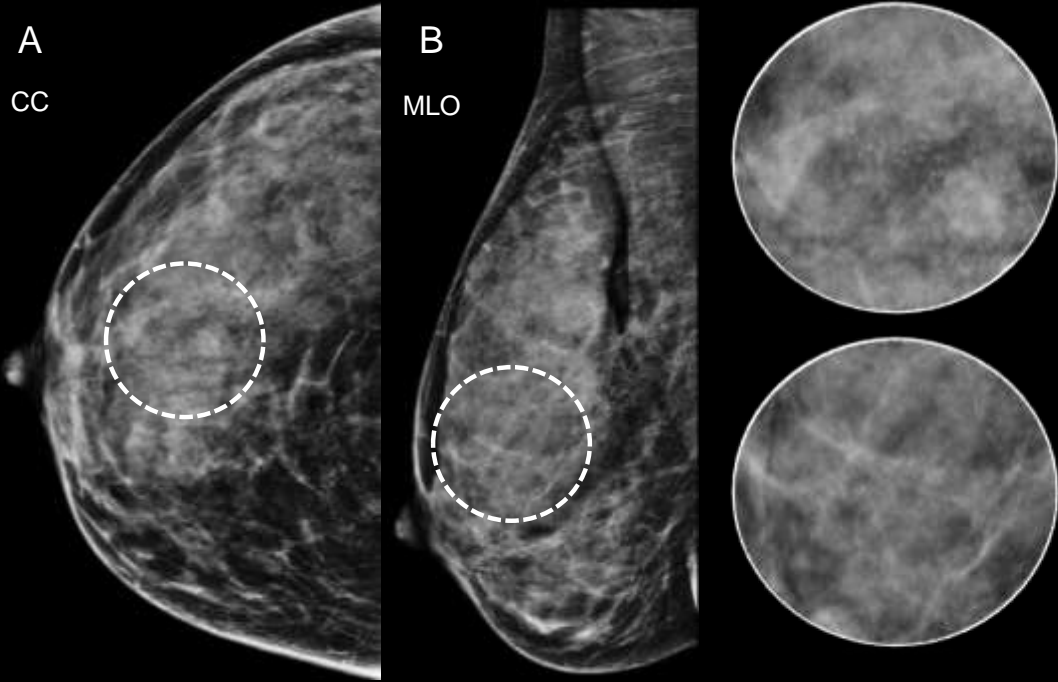
En la Resonancia Magnética (F-G-H-I) se observa la imagen oval previamente descrita de márgenes circunscritos y señal hiperintensa en T2, con patrón de realce heterogéneo sin restricción en DWI.



En la ecografía (A y B) se evidencia imagen oval hipoecoica y de márgenes circunscritos.

En la histología (C) se observan grupos de células epiteliales atípicas en lagos de mucina. (Carcinoma mucinoso puro)

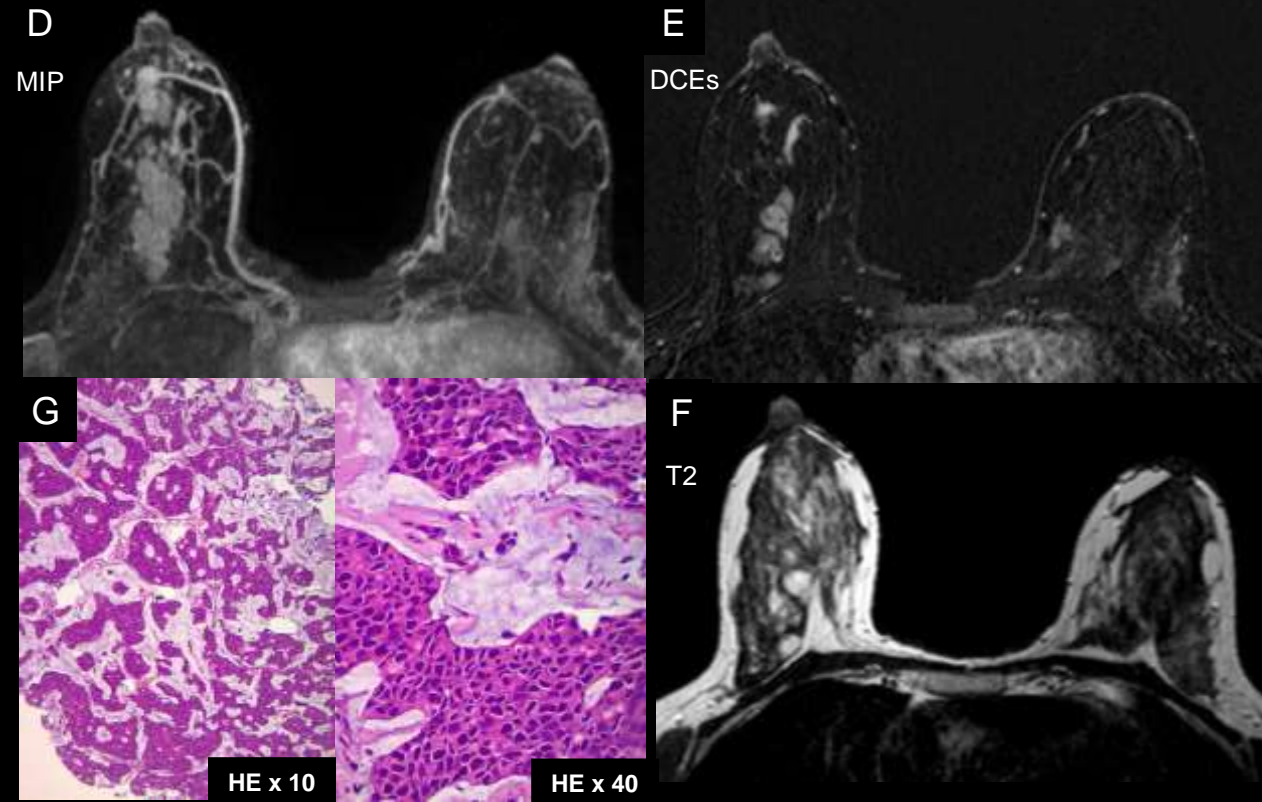
CASO 3



En la mamografía (A y B) se evidencian al menos dos grupos de microcalcificaciones amorfas.

En la ecografía (C) se pueden observar nódulos hipoeoicos de márgenes circunscritos adyacentes entre sí.

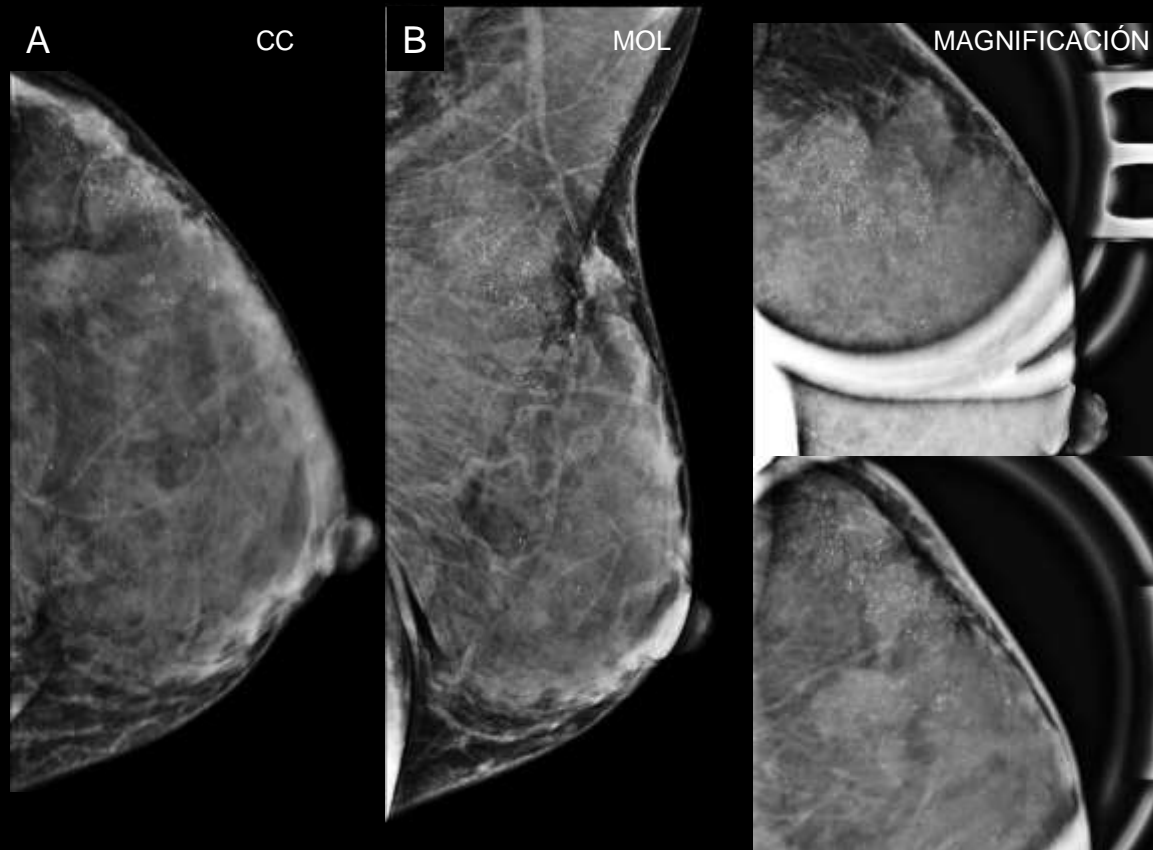
Paciente femenina de 43 años asintomática con antecedentes familiares de cáncer de mama concurre al screening anual.



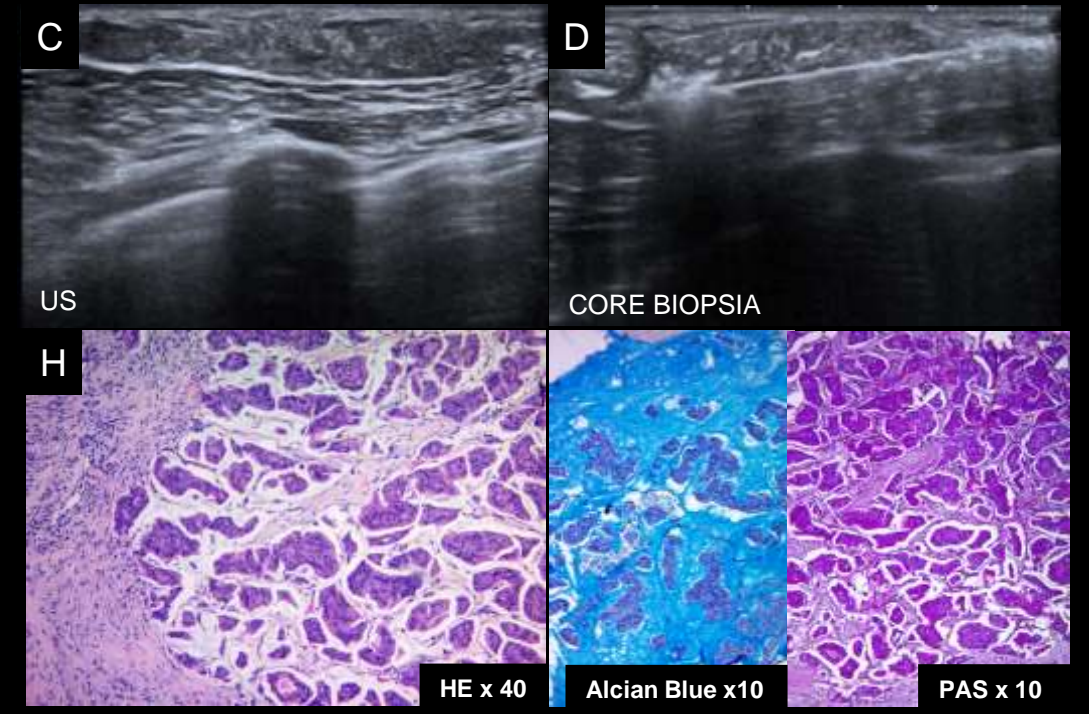
En la RM (D-E-F) se observan múltiples imágenes ovales de márgenes circunscritos distribuidas en los cuatro cuadrantes (multifocalidad-multicentricidad) con señal hiperintensa en T2, y curva de realce progresivo,

En la histología (G) se observan grupos de células epiteliales atípicas rodeadas de lagos de mucina. (Carcinoma mucinoso puro)

CASO 4



Paciente femenina de 41 años de edad que consulta por bultos palpables en mama izquierda CSE.



En la mamografía (A y B) se evidencian microcalcificaciones finas pleomórficas de distribución segmentaria en CSE.

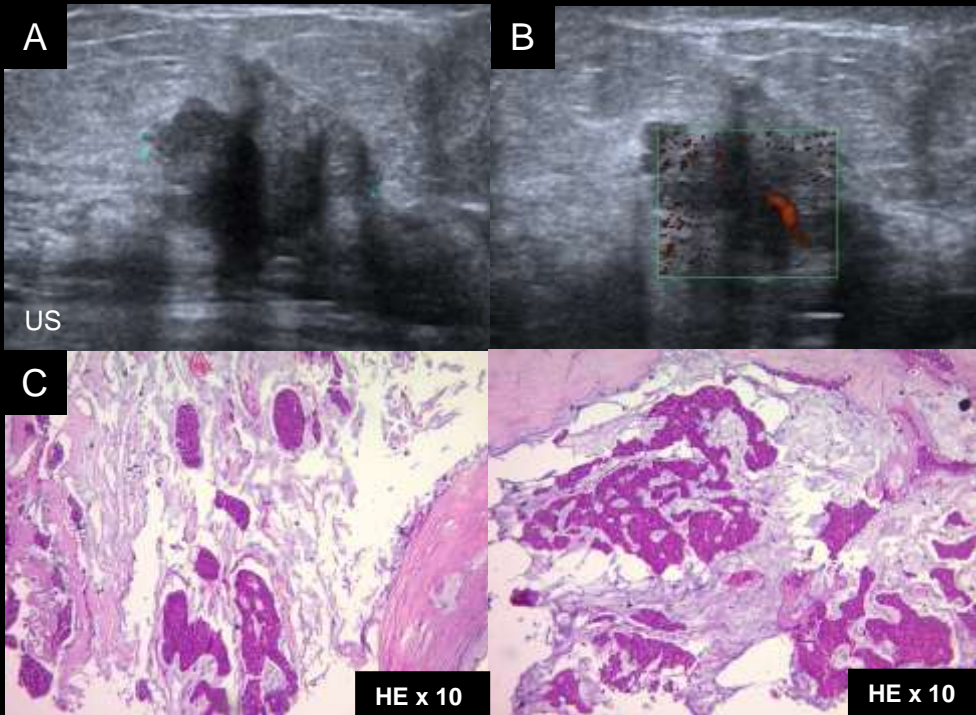
En la ecografía (C y D) se visualiza lesión no masa hipoeoica con microcalcificaciones asociadas.

En la RM (E-F-G) se observa un realce no masa de tipo segmentario con patrón interno heterogéneo de 40 mm con curva de realce progresivo, en íntimo contacto con el músculo pectoral mayor.

En la histología (H) se observan lagos de mucina Alcian Blue y PAS positivos, con grupos de células neoplásicas. (Carcinoma mucinoso mixto)

CASO 5

Paciente femenina de 66 años de edad con antecedentes familiares de cáncer de mama que consulta por bulto palpable en mama izquierda.

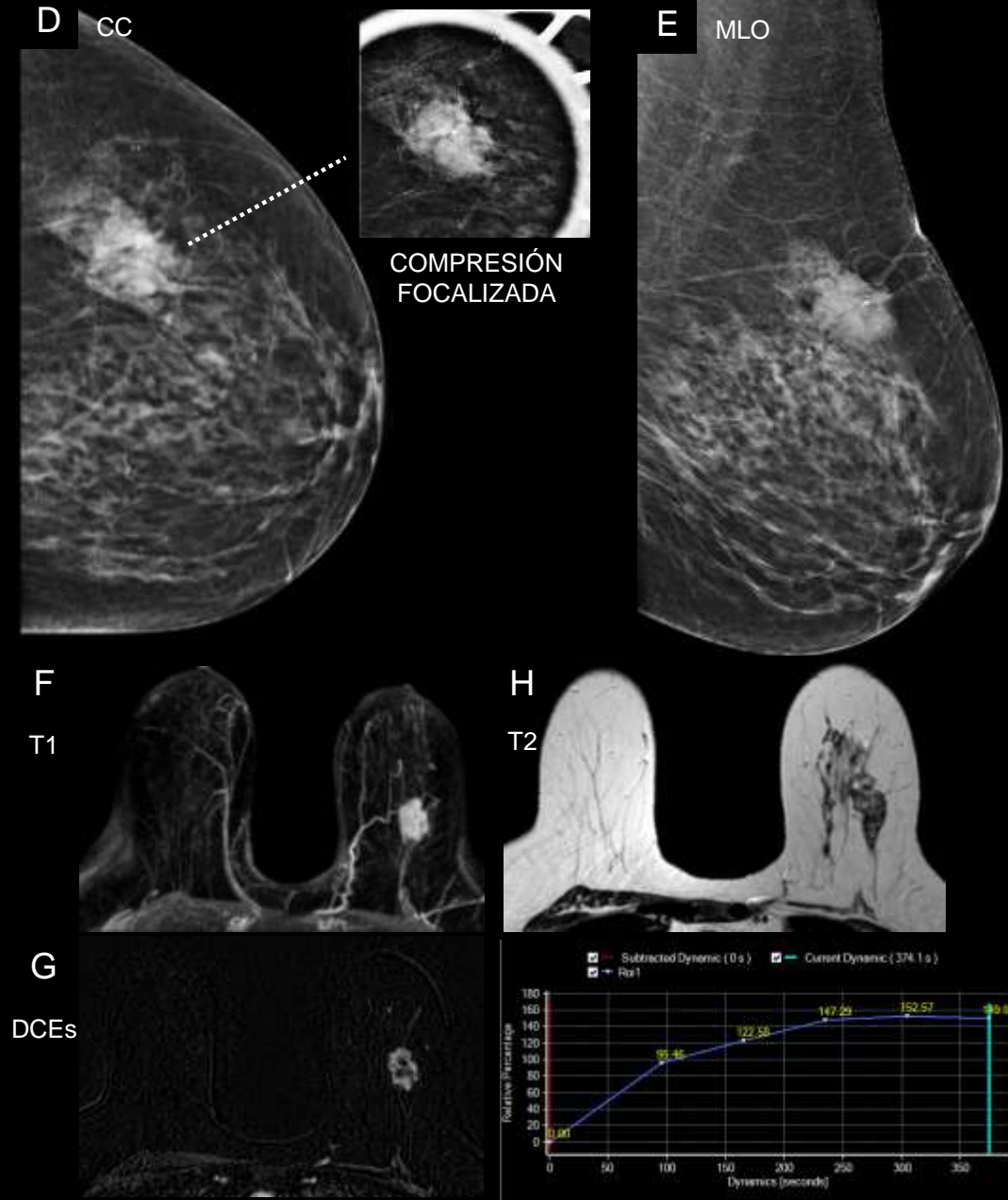


En la mamografía (D y E) se visualiza como una imagen nodular densa irregular y de márgenes indistintos.

En la Resonancia Magnética (F-G-H-I) se observa como una imagen oval de márgenes irregulares y señal heterogénea con sectores hiperintensos en T2. Presenta una curva de realce tipo I.

En la ecografía (A y B) se evidencia una imagen nodular irregular hipoeoica y de márgenes angulados, con sectores que presentan refuerzo acústico posterior.

En la histología (C) se observan grupos de células epiteliales atípicas y lagos de mucina. (Carcinoma mucinoso puro)



Conclusión

Conocer la forma de presentación del carcinoma mucinoso en las diversas técnicas de imágenes nos permite realizar un diagnóstico oportuno, y junto con una correcta correlación histológica podremos brindarle a la paciente un tratamiento adecuado. Resulta de suma importancia distinguir entre PMC y MMC, ya que los carcinomas mucinosos puros en general tienen un mejor pronóstico y menor tasa de metástasis ganglionar.



Bibliografía

- Bitencourt AG, Graziano L, Osório CA, Guatelli CS, Souza JA, Mendonça MH, Marques EF. MRI Features of Mucinous Cancer of the Breast: Correlation With Pathologic Findings and Other Imaging Methods. *AJR Am J Roentgenol*. 2016 Feb;206(2):238-46. doi: 10.2214/AJR.15.14851. PMID: 26797349.
- Kuzmiak CM, Calhoun BC. Pure Mucinous Carcinoma of the Breast: Radiologic-Pathologic Correlation. *J Breast Imaging*. 2023 Mar 20;5(2):180-187. doi: 10.1093/jbi/wbaco84. PMID: 38416927.
- Marrazzo E, Frusone F, Milana F, Sagona A, Gatzemeier W, Barbieri E, Bottini A, Canavese G, Rubino AO, Eboli MG, Rossetti CM, Testori A, Errico V, De Luca A, Tinterri C. Mucinous breast cancer: A narrative review of the literature and a retrospective tertiary single-centre analysis. *Breast*. 2020 Feb;49:87-92. doi: 10.1016/j.breast.2019.11.002. Epub 2019 Nov 11. PMID: 31783314; PMCID: PMC7375663.

